

## Homogenizacija

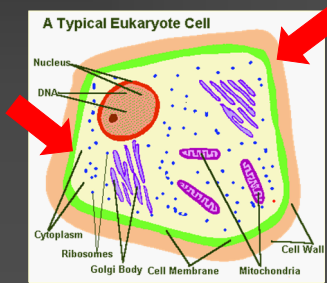
- Kemijski postopki

- Detergenti



- Encimski postopki

- Uporaba encimov za razgradnjo celične stene in membran
    - Lizocim, celulaze, fosfolipaze, ...



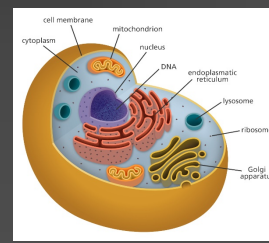
## Izolacija membranskih struktur

- Celični organeli imajo različne lastnosti, zato jih lahko med seboj ločimo s centrifugiranjem:

- **diferencialno centrifugiranje**  
zaradi različnih sedimentacijskih hitrosti se organeli posedajo različno hitro (trjanje, pospeški)
  - **centrifugiranje v gostotnem gradientu**  
organeli se zaradi različnih gostot v vnaprej pripravljenem gradientu (npr. saharoze) posedajo do ravni z enako gostoto.

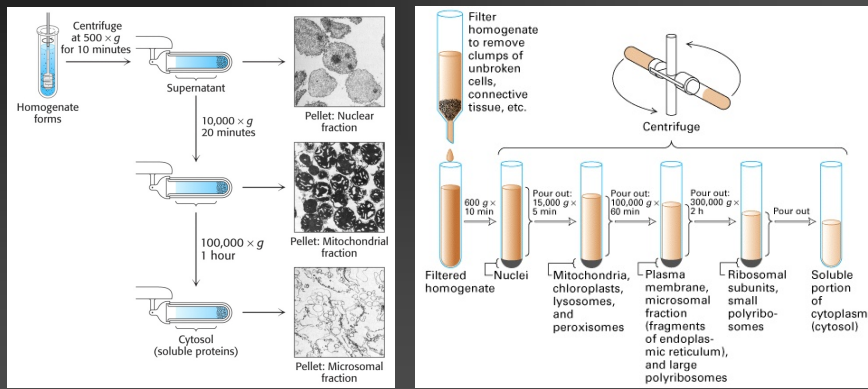
Size and density of some typical organelles*		
Organelle	diameter ( $\mu\text{m}$ )	Density ( $\text{g}/\text{cm}^3$ )
Nuclei	5-10	1.4
Mitochondria	1-2	1.1
Ribosomes	0.02	1.6
Lysosomes	1-2	1.1

\*Carolina Tips, Nov. 1, 1973.



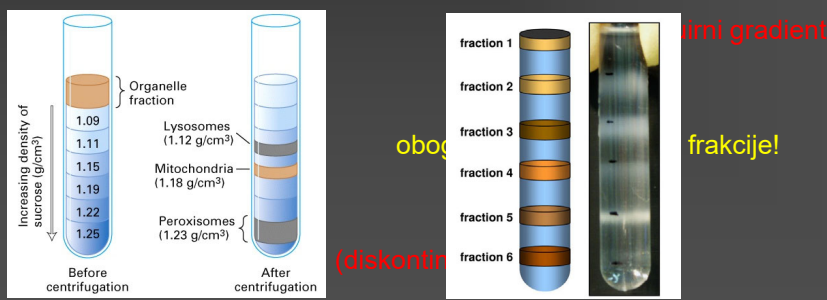
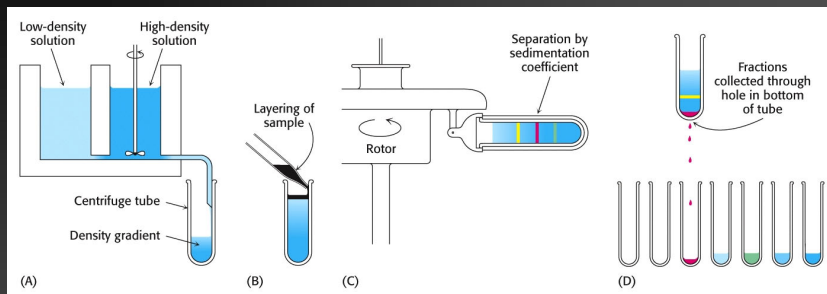
## Izolacija membranskih struktura

- diferencialno centrifugiranje



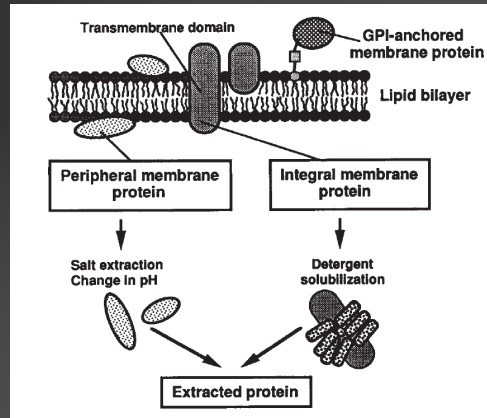
## Izolacija membranskih struktura

- centrifugirjanje v gostotnem gradientu



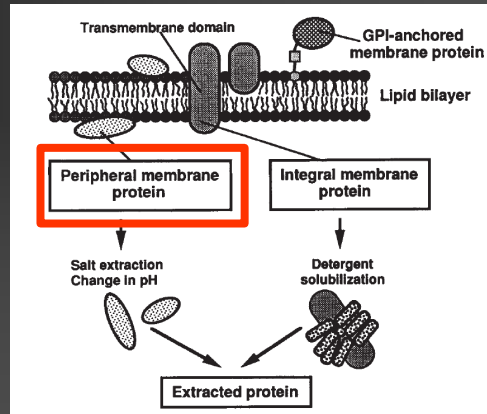
## Ekstrakcija membranskih proteinov

- 1. periferni membranski proteini
- 2. integralni membranski proteini
- 3. proteini, zasidrani v membrani z lipidnimi "repki"



## Ekstrakcija membranskih proteinov - periferni m. proteini

- Relativno mili pogoji za ekstrakcijo
- Porušenje šibkih elektrostatskih interakcij in vodikovih vezi med proteini in membrano



## Ekstrakcija membranskih proteinov

- periferni m. proteini

### ■ Najpogosteje uporabljeni postopki:

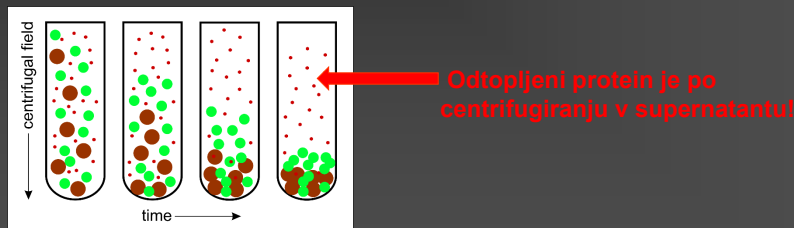
- Visoka ionska jakost (1M NaCl ali KCl)
- Bazični pufri (pH 8-12)
- Kisli pufri (pH 3-5)
- Kelatorji kovinskih ionov (EGTA ali EDTA)
- Organska topila (npr. butanol)
- Sonifikacija membranskih frakcij

## Ekstrakcija membranskih proteinov

- periferni m. proteini

### ■ Ekstrakcija – centrifugiranje

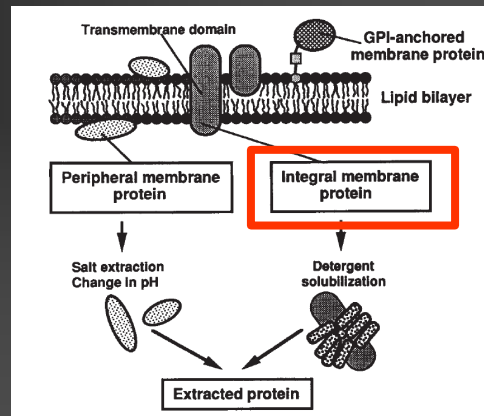
- (60 min, 100 000g)





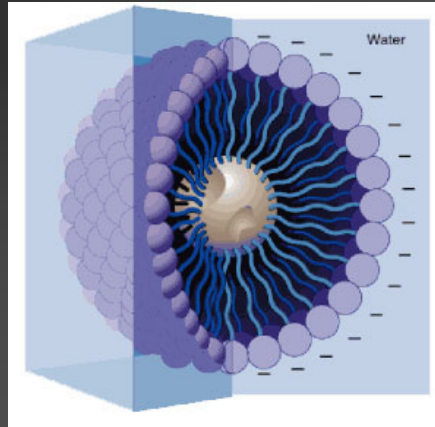
## Ekstrakcija membranskih proteinov - integralni m. proteini

- Zaradi hidrofobnih površin močneje vsidrani v lipidni dvosloj
- Za ekstrakcijo so potrebni detergenti



# Detergenti

- Amfipatične molekule
  - Dvojni značaj: hidrofobni in hidrofilni del
  - Miceli



# Detergenti

Table 1  
Properties of Commonly Used Solubilizing Detergents

Detergent	Relative molecular mass (monomer) ( $M_r$ )	Critical micelle concentration (cmc) (M)	Aggregation number
Triton X-100	625	$3.0 \times 10^{-4}$	150
Tween 20	1320	$0.9 \times 10^{-5}$	60
Brij 35	1200	$9.0 \times 10^{-5}$	40
Lubrol PX	1000	$4.0 \times 10^{-6}$	90
Octyl-β-D-glucosid	292	$2.5 \times 10^{-2}$	90
Zwittergent 3-14	364	$3.0 \times 10^{-4}$	83
CHAPS	615	$1.4 \times 10^{-3}$	22
Cholate	430	$1.4 \times 10^{-3}$	4
Sodium dodecyl sulfate	288	$7.0 \times 10^{-3}$	62

- Kritična micelna koncentracija
- Agregacijsko število
- Hidrofilno-lipofilno ravnotežje (HLB)

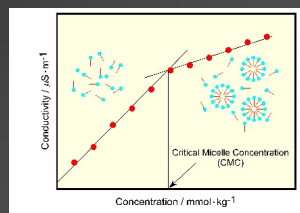
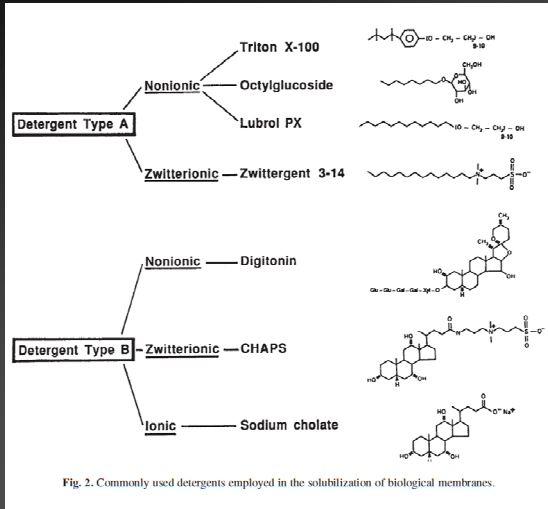


Fig. 1 Detection of critical micelle concentration (CMC) by the electrical conductance method

# Detergenti



- **Tip A:**
  - Fleksibilni hidrofobni repi in hidrofilne glave

- **Tip B:**
  - Toge strukture z amfifilnimi lastnostmi; na osnovi strukture holesterola

## Ekstrakcija membranskih proteinov - integralni m. proteini

- Kriteriji za izbiro detergenta:
  - Čistost
  - Dostopnost
  - Učinkovitost odtapljanja membranskih proteinov
  - Pri uporabi ne pride do ireverzibilne denaturacije membranskega proteina
  - Učinkovitost odstranjevanja detergenta po ekstrakciji

## Ekstrakcija membranskih proteinov

### - integralni m. proteini

- Ekstrakcija membranskih proteinov z detergentom
  - Pufrski sistemi s fiziološkim pH in ionsko jakostjo
  - Membranski vzorci s celokupno koncentracijo proteinov 1-5 mg/mL
  - Koncentracija detergenta 0.1-5% (v/v)
  - Po centrifugiranju (60 min, 100 000g) je membranski protein v supernatantu

## Odstranjevanje detergentov

- Začetna koncentracija detergentov je ponavadi visoka.
- Za nadaljnje postopke izolacije oziroma analize je potrebno presežni detergent odstraniti ali zamenjati z drugim.
- Detergenti lahko negativno vplivajo na:
  - Biološko aktivnost membranskega proteina
  - Učinkovitost kromatografskih metod pri izolaciji
  - Različne fizikalne in kemijske analize proteinov
  - Biološke analize v celičnih sistemih

## Metode za odstranjevanje detergentov

- Pri izbiri metode za odstranjevanje moramo upoštevati naslednje lastnosti detergenta:

- Kritično micelno koncentracijo (cmc)
- Hidrofilno-lipofilno ravnotežje (HLB)
- Molekulsko maso micela

## Metode za odstranjevanje detergentov

- Najpogosteje uporabljene metode:

- Dializa
- Kromatografija:
  - ionsko-izmenjevalna
  - afinitetna
  - hidrofobna adsorpcija
  - gelska filtracija

- Precipitacija proteinov

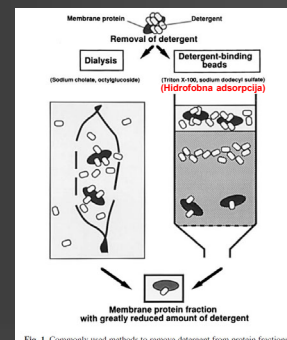
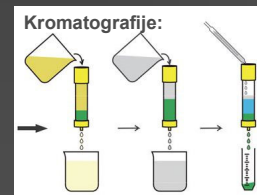
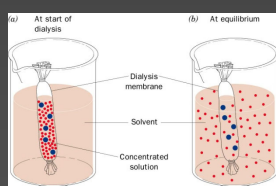
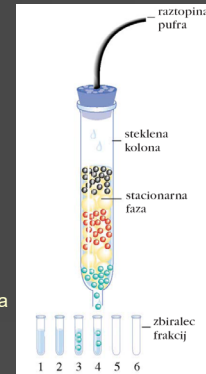


Fig. 1. Commonly used methods to remove detergent from protein fractions.



# Izolacija membranskih proteinov

- Izolacija celičnih organelov
- Ekstrakcija membranskih proteinov z detergentom
- Znižanje koncentracije detergenta
- Kombinacija standardnih biokemijskih tehnik - kromatografij:
  - Ločba na osnovi bioloških lastnosti
    - Afinitetna kromatografija (uporaba specifičnih ligandov, sond ali protiteles)
  - Ločba na osnovi fizikalnih lastnosti (velikost, naboj)
    - Ionsko-izmenjevalna kromatografija
    - Gelska filtracija
    - Elektroforeza
  - Ločba na osnovi adsorpcijskih lastnosti
    - Hidrofobna izmenjevalna kromatografija, adsorpcijska kromatografija
    - Kromatografija na obrnjenih fazah
- Ločba na osnovi bioloških lastnosti ponavadi pripelje do boljšega izkoristka izolacije.
- Strukturna karakterizacija proteina



FPLC



HPLC

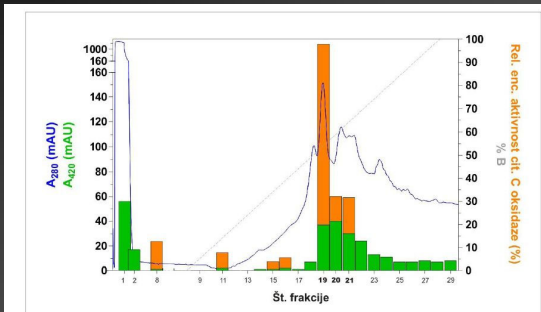


“Speedvac”

## Kontrola učinkovitosti ekstrakcije in izolacije membranskih proteinov

- Encimska aktivnost
- Detekcija proteinov v gelu in na membranah
  - Barvanje proteinov in detekcija s specifičnimi protitelesi
- Afinitetno označevanje
- Označevanje proteinov s fluorofori
- Biološka analiza v celičnih sistemih

- Encimska aktivnost
- Primer:
  - Izolacija citokrom c oksidaze – sledenje encimske aktivnosti po frakcijah

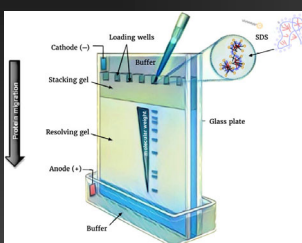
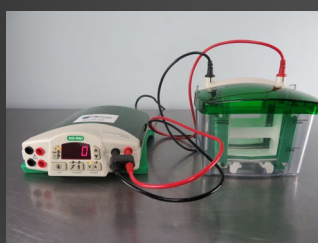


Slika 13: Anionsko-izmenjevalna kromatografija, zadnja stopnja čiščenja CCOX iz prasičjega

cerebralnega kortexa.

Iz prasičjega možganske skorje smo izolirali celotno CCOX. V zadnji stopnji izolacije smo na FPLC-kolono Mono Q pri pretoku 1 ml/min nanesli 1 ml supernatanta po odtapljanju membranskih proteinov s 3 % (m/v) TX-100 (CS2). Nevezane proteine smo sprali s 4 ml pufra 50 mM Hepes (pH 7,6), 100 mM NaCl in 0,1 % (m/v) TX-100. Vezane proteine smo eluirali z gradientom 100–500 mM NaCl v pufru 50 mM Hepes (pH 7,6) in 0,1 % (m/v) TX-100. Zbirali smo frakcije po 1 ml. Frakcijam smo izmerili absorbanci pri 280 nm (modra linija) in 420 nm (zeleni stolpcji) ter aktivnost CCOX (oranžni stolpcji). Aktivnost frakcij smo prikazali kot delež aktivnosti celotne frakcije CS2. Najbolj aktivne frakcije 19, 20 in 21 so podajljene.

- Detekcija proteinov v gelu in na membranah
- Barvanje proteinov v gelu in na membranah
  - NaDS PAGE

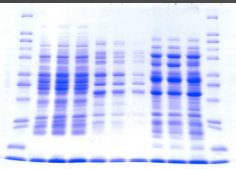



■ Barvila

Stain	Detection Limit	Nitrocellulose	Nylon	PVDF	Comments
Ponceau 5	1-2 µg	+	-	+	reversible
Amido Black*	1.5 µg	+	-	+	permanent low background
Coomassie blue*	1.5 µg	+	-	+	permanent high background
India Ink	100 ng	+	-	+	permanent
Biotin-avidin	30 ng	+	+	+	permanent fades with time
Colloidal gold	3 ng	+	-	+	permanent
* Anionic Stains					



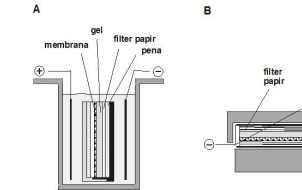
Koloidno srebro



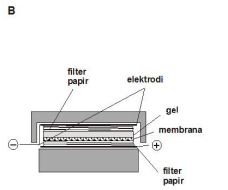
Coomassie modro

- Detekcija proteinov v gelu in na membranah
- Imunološka detekcija proteinov na membranah
  - Prenos proteinov na membrano
  - Detekcija s specifičnimi protitelesi

**A**

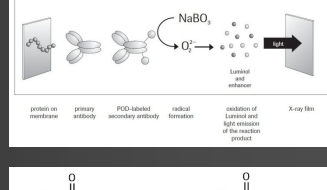


**B**



Slitek 3: Sistemi za elektroforezni prenos proteinov iz poliakrilamidnih gelov. (a) Prenos v tanku. (b) Polushni prenos.

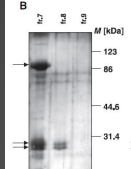
**Fig. 1:** Reaction scheme



**Fig. 1:** Reaction scheme

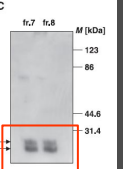
$$\text{Reaction scheme: } \text{protein on membrane} + \text{primary antibody} + \text{POD-labeled secondary antibody} + \text{NBT/BCIP} \rightarrow \text{colored product} \rightarrow \text{light} \rightarrow \text{X-ray film}$$

**B**

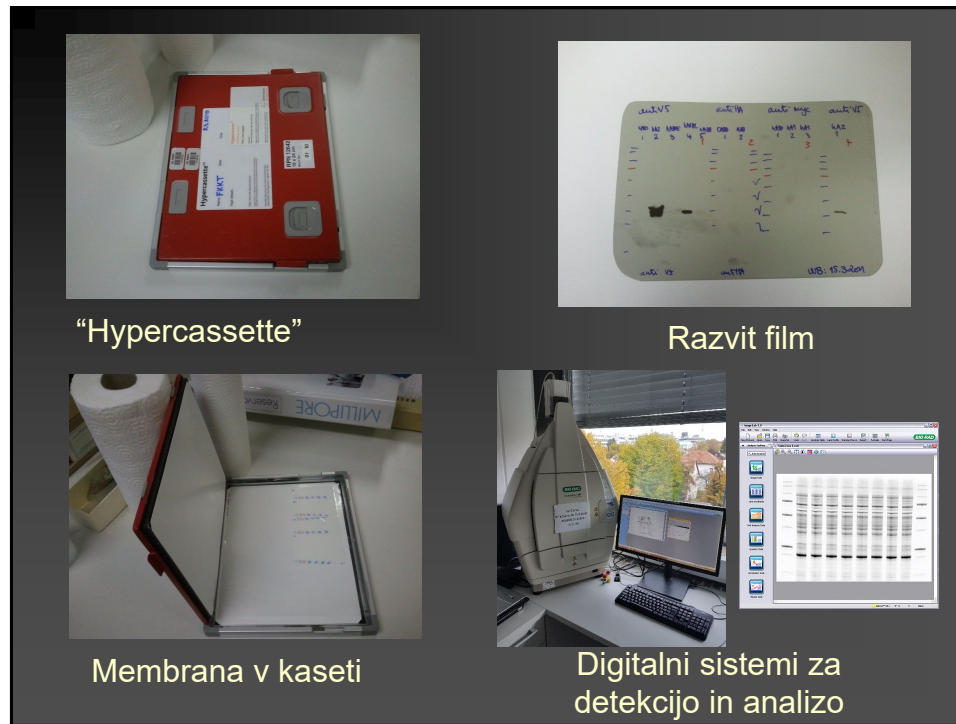


Barvanje s koloidnim srebrom

**C**



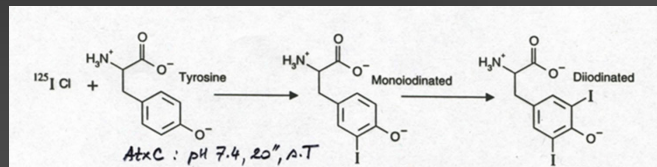
Detekcija s protitelesi



## ■ Afinitetno označevanje

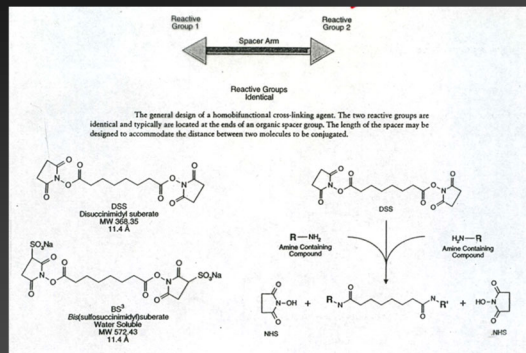
- Priprava **radioaktivno označenega proteina (liganda)**
  - Primer: **radiojodiranje tirozinskih preostankov v proteinu**

protein →  $^{125}\text{I}$ -protein



## ■ Afinitetno označevanje

- Kovalentno povezovanje proteinov z radioaktivno označenimi ligandi – uporaba prečnih povezovalcev



Obstaja veliko različnih tipov prečnih povezovalcev!

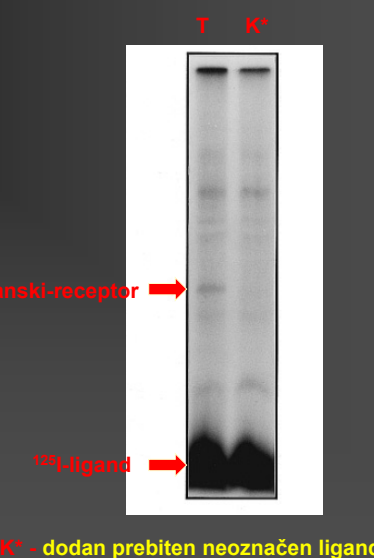


- NaDS PAGE
- Avtoradiografija



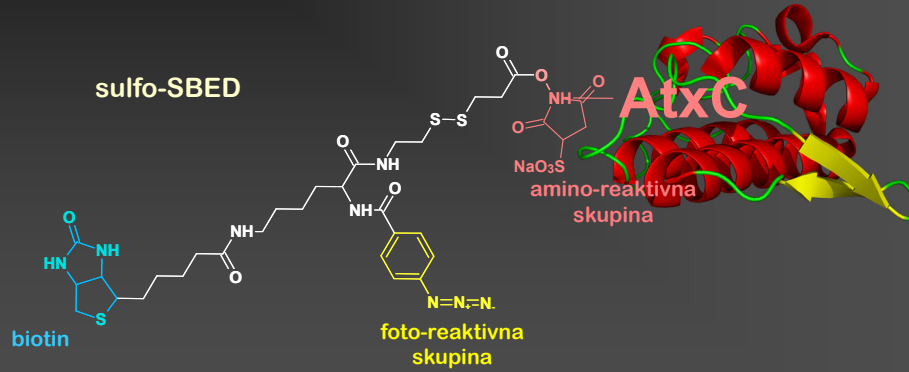
## ■ Afinitetno označevanje

- NaDS PAGE
- Avtoradiografija



## ■ Afinitetno označevanje

- Označevanje proteinov s foto-reaktivnimi sondami



- Fotoaktivacija
- Prenos biotinske ročice z AtxC na tarčni protein
- Kemiluminescenčna detekcija na membrani

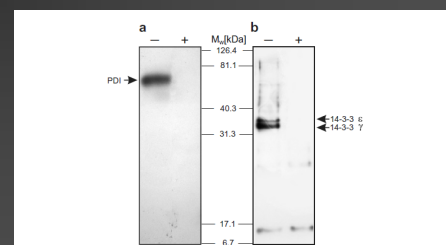
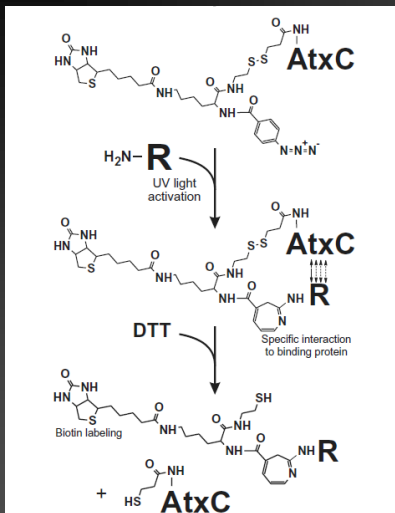


Fig. 3. Sulfo-SBED-AtxC labelling of PDI and 14-3-3 Atx-binding proteins that cannot be affinity-labelled with  $^{125}\text{I}$ -AtxC and DSS. PDI ( $0.7 \mu\text{M}$ ) and 14-3-3 proteins ( $0.14 \mu\text{M}$ ) were incubated with sulfo-SBED-AtxC ( $0.7 \mu\text{M}$ ) in the dark. The cross-linking reaction proceeded for 10 min under UV radiation (312 nm). SDS-PAGE analysis (12.5% acrylamide gels) under reducing conditions was followed by Western blotting of the samples and Sa-HRP/ECL detection on the membranes. Incubations in the presence or absence of 100-fold molar excess of the native AtxC over sulfo-SBED-AtxC are designated by (+) and (-). For experimental details see Section 2.

- Označevanje proteinov z različnimi fluorofori
  - Primer fluorofora: Alexa Fluor 546

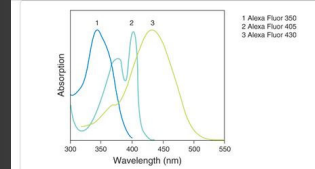
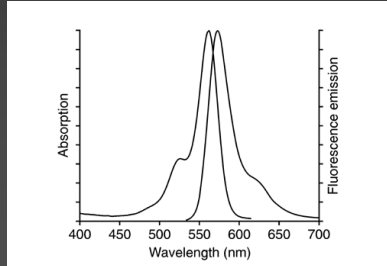
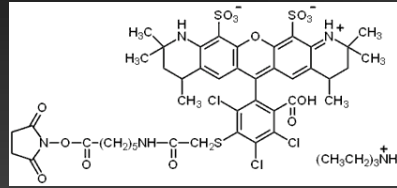


Figure 1.34 Absorption spectra of our ultraviolet and blue light-absorbing Alexa Fluor dyes.

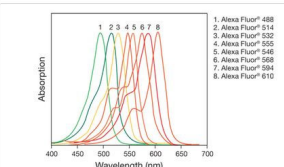


Figure 1.35 Absorption spectra of our green, yellow and red light-absorbing Alexa Fluor dyes.

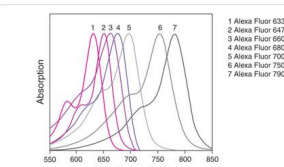
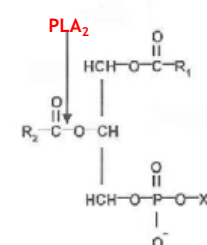
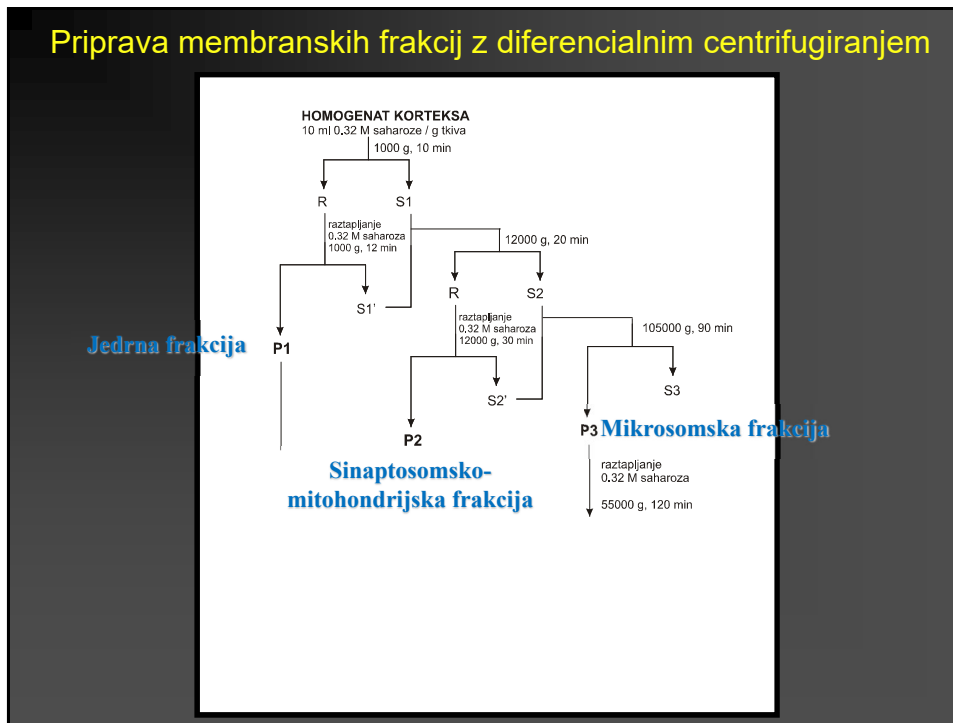
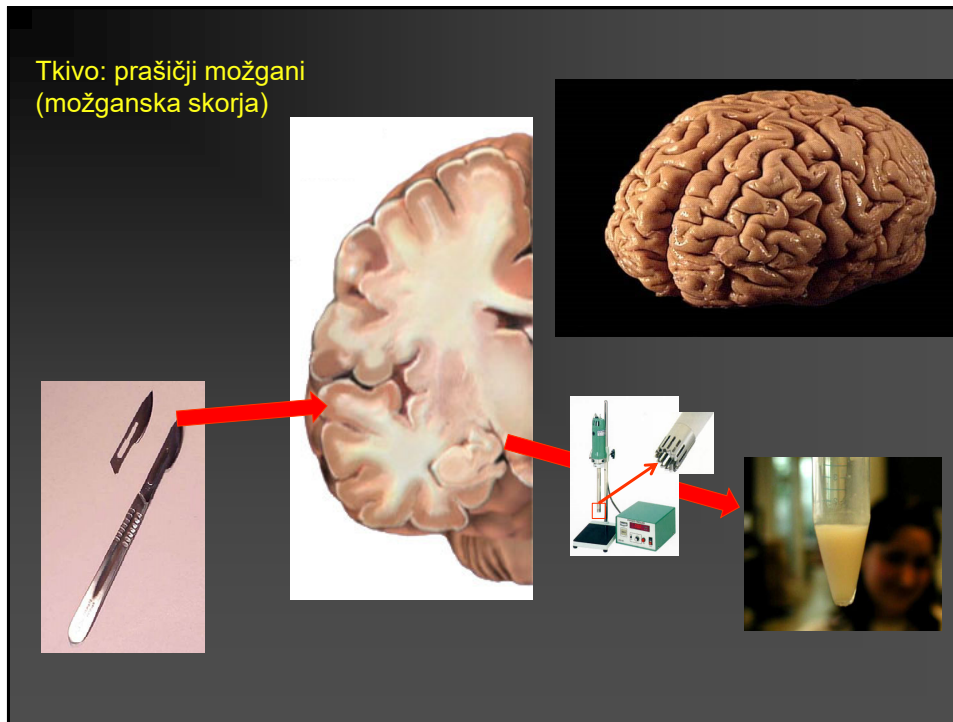


Figure 1.36 Absorption spectra of our far-red and infrared light-absorbing Alexa Fluor dyes. Alexa Fluor 635 dye, available conjugated to antibodies, streptavidin and phalloidin, is not included here but its absorption spectrum is very similar to that of Alexa Fluor 532 dye.

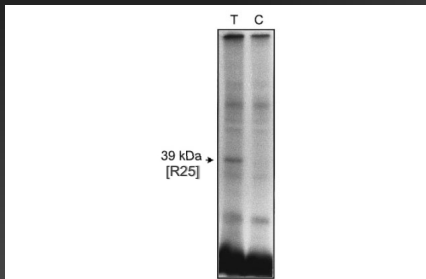
## Primer: Identifikacija in izolacija membranskih vezavnih proteinov za amoditoksin (Atx)

- sekretorne fosfolipaze A<sub>2</sub> (sPLA<sub>2</sub>) iz strupa modrasa (*Vipera ammodytes ammodytes*)
- presinaptični nevrotoksini ( $\beta$ -nevrotoksini)
- preprečitev sproščanja acetilholina iz živčnih končičev - trifazni učinek
- smrt žrte zaradi paralize dihalnih mišic





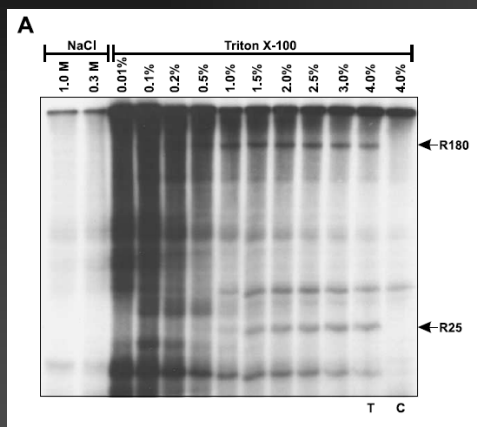
### Detekcija Atx-vezavnih proteinov na **membranah** kortexa:



**FIG. 2.** Affinity labeling of the AtxC-binding component in porcine synaptic membranes. The membrane preparation was incubated with  $^{125}\text{I}$ -AtxC in the absence (T) or presence (C) of a 600-fold excess of unlabeled over labeled toxin. After cross-linking (DSS), membranes were solubilized and analyzed on SDS-PAGE under reducing conditions. The patterns shown are autoradiographs. The apparent molecular mass of the specific adduct was determined using Bio-Rad kaleidoscope prestained standards.

- afinitetno označevanje z uporabo **radioaktivno označenega Atx** (14 kDa) in prečnega povezovalca DSS
- Ločba proteinov z NaDS PAGE
- Avtoradiografija

### Detekcija Atx-vezavnih proteinov na **ekstraktih membran** kortexa:



- Ekstrakcija membranskih proteinov z različnimi koncentracijami **NaCl** ali detergenta **Triton X-100**
- afinitetno označevanje z uporabo **radioaktivno označenega Atx** in prečnega povezovalca DSS
- Ločba proteinov z NaDS PAGE
- Avtoradiografija

R180 in R25 sta integralna membranska proteina!

## Izolacija 180-kDa membranskega proteina

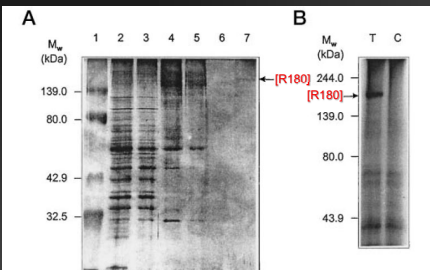


FIG. 2. Purification of R180 from porcine cerebral cortex. A, aliquots of the samples obtained in different steps of the purification procedure were analyzed by 10% SDS-PAGE under reducing conditions. The gel was silver-stained. Lane 1, molecular mass standards ( $\beta$ -galactosidase, 139 kDa; bovine serum albumin, 80 kDa; carbonic anhydrase, 42.9 kDa; soybean trypsin inhibitor, 32.5 kDa); lane 2, crude membrane extract, 5  $\mu$ g of protein; lane 3, breakthrough from wheat germ lectin-Sepharose 6MB, 4  $\mu$ g of protein; lane 4, eluate from wheat germ lectin-Sepharose 6MB, 4  $\mu$ l out of 8 ml; lane 5, breakthrough from AtxC-Affi-Gel 10, 4  $\mu$ l out of 8 ml; lane 6, AtxC-Affi-Gel 10 Triton X-100 (0.3% (w/v)) washing, 4  $\mu$ l out of 40 ml; lane 7, eluate from AtxC-Affi-Gel 10, 100  $\mu$ l out of 4.2 ml. The position of pure R180 in lane 7 is indicated by the arrow. B, the final product (lane 7) specifically reacted with  $^{125}$ I-AtxC. An aliquot of the final product was incubated with  $^{125}$ I-AtxC in the absence (T) or presence (C) of 200-fold excess of unlabeled AtxC over the labeled toxin.

- Uporaba lektin-afinitne in Atx-afinitetne kromatografije
- Protein (R180) izoliran v čisti obliki
- Izoliran R180 ohrani biološko aktivnost – sposobnost vezave Atx

## Del strukturne karakterizacije 180-kDa membranskega proteina:

TABLE 1 Peptide Sequence Analysis of R180 and L200 by Tandem Mass Spectrometry			
AtxC receptor	Peptides*		
R180	870	DGSPVYQNWDK	881
	1339	IPEGVWQLSSCODK	1353
L200	353	YYATHCEPGWNPHNPK	367
	825	SDILTHSAHEQEFIHSK	842
	870	DGSPVYQNWDK	881
	923	VWVIEK	928
	1308	WFDCPTPTDQSNWGIR	1322
	1339	IPEGVWQLSSCDKK	1353

\* Two tryptic peptides from R180 and six from L200 were sequenced. Peptides were found identical to the corresponding parts in the sequence of bovine M-type sPLA<sub>2</sub>R (12).

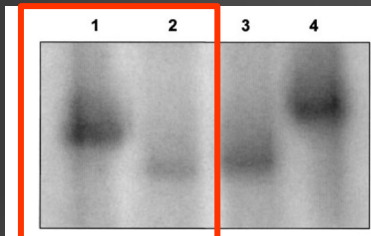


FIG. 3. Effect of peptide N-glycosidase F (PNGF) treatment on R180 and L200. The purified sPLA<sub>2</sub>s were treated with PNGF (lanes 2 and 3) and analyzed on SDS-PAGE in comparison to PNGF-untreated samples (for details see Materials and Methods). Lanes 1 and 2 contain R180 while lanes 3 and 4 contain L200.

- Analiza s tandemsko masno spetrometrijo je pokazala, da je R180 **transmembranski protein** – receptor tipa M za sPLA<sub>2</sub>.
- Po obdelavi s peptidno N-glikozidazo F se navidezna molekulska masa proteina zniža – R180 je **glikoprotein**!

